

UNIVERSIDADE FEDERAL DO ABC
CENTRO DE MATEMÁTICA, COMPUTAÇÃO E COGNIÇÃO
RELATÓRIO FINAL PARA O PROGRAMA IC (VOLUNTÁRIO) – EDITAL 01/2019

Problema do Caixeiro Viajante

Aluno:

Marcelo Tranche de Souza Junior

Supervisor:

Carla Negri Lintzmayer

Setembro/2020

Resumo

No problema do Caixeiro Viajante temos um conjunto de cidades e queremos encontrar uma rota de comprimento mínimo que passa por todas elas exatamente uma vez. Esse é um problema clássico e central em otimização combinatória, com diversas aplicações práticas. Este projeto teve por objetivo a introdução do candidato à pesquisa científica por meio da implementação de diferentes algoritmos para o problema mencionado. Cada algoritmo envolve técnicas e conceitos diferentes, possibilitando assim ao aluno complementar sua formação em Ciência da Computação. Esse relatório descreve os detalhes de cada algoritmo estudado e de suas implementações, bem como de testes que foram realizados sobre eles para fins de comparações.

Sumário

| | | |
|----------|---|-----------|
| 1 | Introdução | 4 |
| 2 | O problema | 4 |
| 3 | Metodologia | 5 |
| 4 | Algoritmos estudados | 5 |
| 4.1 | Força bruta | 6 |
| 4.2 | Programação dinâmica | 6 |
| 4.3 | <i>Branch and bound</i> | 8 |
| 4.4 | Programação linear | 9 |
| 4.5 | Algoritmo guloso | 11 |
| 4.6 | Algoritmo <i>Cheapest insertion</i> | 12 |
| 4.7 | Algoritmo de Christofides | 14 |
| 4.8 | Algoritmo 2-OPT | 18 |
| 5 | Implementações | 19 |
| 6 | Resultados | 28 |
| 7 | Conclusão | 37 |
| | Referências | 38 |

1 Introdução

Otimização combinatória é uma área da ciência da computação que estuda problemas nos quais o objetivo é encontrar a melhor solução, ou a que mais se aproxima da melhor, dentro de um conjunto de domínio finito de soluções.

Problemas de otimização combinatória em geral são NP-difíceis, ou seja, impossíveis de serem resolvidos em tempo polinomial, a menos que $P = NP$, fazendo com que seja necessário utilizar outras técnicas para encontrar soluções razoáveis para eles, como por exemplo utilizar algoritmos de aproximação, que nos dão a garantia de encontrar soluções com custos próximos da solução ótima. Outras técnicas consistem no desenvolvimento de heurísticas, que dão uma solução para qualquer instância em tempo razoável porém sem garantias no custo da mesma, e no desenvolvimento de bons algoritmos exatos, que dão a solução ótima porém apenas para instâncias de tamanho pequeno.

Esta iniciação científica teve por objetivo a introdução do aluno à pesquisa científica, bem como a complementação de sua formação em Ciência da Computação, iniciando seu conhecimento na área de otimização combinatória por meio do estudo e implementação de diversos algoritmos para o problema do Caixeiro Viajante.

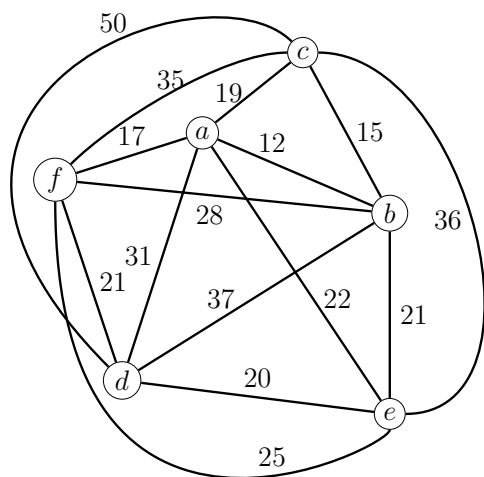
O restante desse relatório encontra-se dividido da seguinte forma. Na Seção 2 descrevemos formalmente o problema estudado. Na Seção 3 explicamos quais as técnicas e ferramentas que utilizamos para realizar o projeto. Na Seção 4 apresentamos os algoritmos utilizados para resolver o problema estudado. Na Seção 5 mostramos nossas implementações dos algoritmos estudados na linguagem de programação Python. Na Seção 6 mostramos os testes realizados com os algoritmos, e comparamos seus resultados em relação aos custos das soluções dadas, e com os tempos de execução de cada um. E por fim, na Seção 7 damos as considerações finais sobre o projeto.

2 O problema

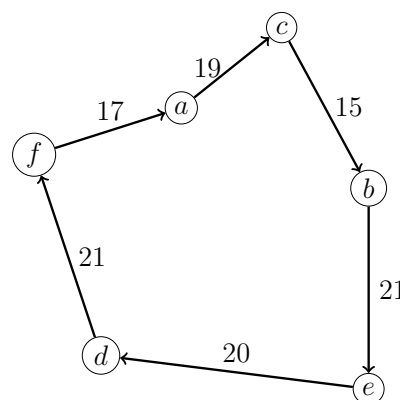
Traveling salesman problem, ou o **problema do caixeiro viajante**, é um famoso problema NP-difícil [3, p. 799], que tem como objetivo achar o percurso de menor custo que um vendedor deve viajar, de maneira que ele visite todas as cidades uma única vez e depois volte para sua cidade de partida.

Formalmente, a entrada do problema pode ser modelada por um grafo não orientado completo $G = (V, E)$, onde cada vértice representa uma cidade e cada aresta ij possui um peso $c(ij)$, que representa o custo de viajar da cidade i à cidade j . Deseja-se encontrar um **ciclo hamiltoniano de custo mínimo** em G , ou seja, um percurso que começa em um vértice r e passa por cada um dos vértices do grafo uma única vez retornando ao vértice r e cuja soma das arestas percorridas seja a menor possível.

A Figura 1 mostra um exemplo de um possível grafo de entrada e uma solução ótima do



(a) Grafo G .



(b) Solução ótima do TSP para G ,
(a, c, b, e, d, f, a).

Figura 1: Exemplo de grafo de entrada e uma solução ótima.

TSP para o mesmo. Neste trabalho que os grafos são sempre grafos completos, isto é, que todo par de vértices possui aresta entre si.

3 Metodologia

Por ser um problema clássico e bem conhecido em otimização combinatória, o problema do caixeiro viajante possui muitas técnicas para se encontrar suas soluções, de forma que é possível encontrar diversas dessas técnicas em muitos artigos e livros [1, 2, 13, 15, 3]. Para esse projeto, buscou-se cobrir as soluções mais relevantes para o problema que pudessem introduzir o aluno à técnicas básicas de algoritmos. Por isso, escolhemos um algoritmo de cada técnica: gulosa, força bruta, programação dinâmica, *branch and bound*, aproximação, busca local e programação linear.

Além de estudar os algoritmos e resultados teóricos envolvidos, também decidimos por implementar cada um deles, para comparação prática. Para isso, a linguagem escolhida foi Python, devido à sua simplicidade e familiaridade do aluno. Python possui compatibilidade com as bibliotecas Networkx [9], própria para se trabalhar com grafos, e Gurobi [8], que fornece uma solução bastante completa para a implementação de soluções para problemas de otimização.

4 Algoritmos estudados

Nesta seção falaremos sobre os algoritmos que foram estudados. As Seções 4.1, 4.2, 4.3 e 4.4 apresentam algoritmos que devolvem soluções ótimas para o problema. Nota-se, portanto, que eles devem abrir mão de fazer isso em um tempo razoável, conforme a

entrada cresce. As Seções 4.5, 4.6, 4.7 e 4.8 apresentam algoritmos de aproximação e heurísticas para o problema. Uma x -aproximação é um algoritmo cuja solução tem custo no máximo x vezes o custo da solução ótima. Algoritmos heurísticos em geral não têm essa garantia de custo. Ambos, no entanto, têm tempo de execução polinomial e por isso executam para qualquer instância.

4.1 Força bruta

Carvalhaes e Rodrigues [12] dizem que um algoritmo de força bruta é feito testando e enumerando todas as possibilidades de soluções possíveis para um problema, ou seja, aplicando para o problema do caixeiro viajante, devemos testar todas as possíveis combinações de passeios, sendo essas combinações formadas por permutações do conjunto de vértices que resultam em um ciclo hamiltoniano válido, e escolher a de menor custo.

A ideia do algoritmo para o TSP é gerar todos os possíveis ciclos válidos sobre o grafo G através de permutações sobre seus vértices. Note que essa técnica de solução só funciona se G for um grafo completo, senão ainda teríamos que verificar quais permutações formariam ciclos. Ele é formalizado no Algoritmo 1.

Algoritmo 1: FORCA-BRUTA

Entrada: $G = (V, E), c$

```

1 início
2    $OPT \leftarrow (0, 1, 2, \dots, n - 1, 0)$ 
3   para cada  $passeio \in \text{PERMUTAÇÕES}(V)$  faça
4     se  $c(passeio) \leq c(OPT)$  então
5        $OPT \leftarrow passeio$ 
6   retorna  $OPT$ 

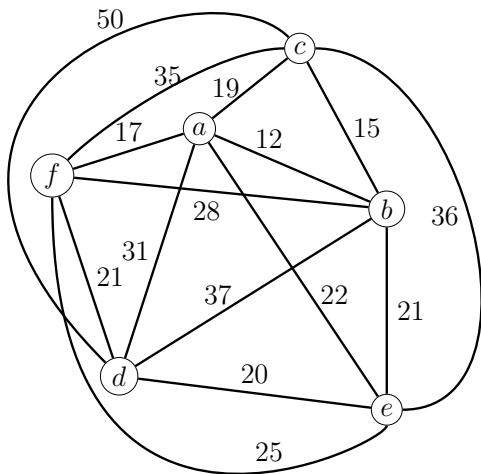
```

Na linha 2 cria-se um passeio inicial para servir como base de comparação para as próximas soluções criadas pelas permutações. O laço da linha 3 utiliza a função $\text{PERMUTAÇÕES}(V)$, que gera todas as possíveis permutações sobre V , para que depois na linha 4 se compare o custo dessa nova permutação com a solução de menor custo até o momento. Caso essa nova permutação tenha um custo menor, na linha 5 essa permutação se torna a nova solução de menor custo para ser comparada com as permutações subsequentes. Como iteramos por todas as permutações dos vértices e verificamos o custo de cada uma delas, esse algoritmo tem um tempo de execução $O(|V|!|V|)$.

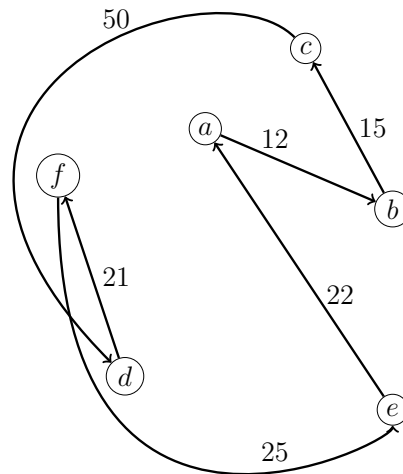
Um exemplo de execução desse algoritmo encontra-se na Figura 2.

4.2 Programação dinâmica

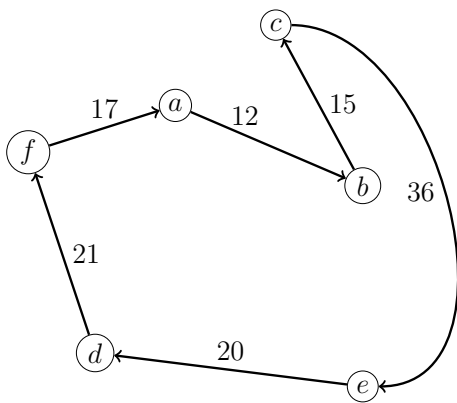
Bellman [1] apresentou o primeiro algoritmo de programação dinâmica para o TSP. Supondo que nosso grafo G tenha n vértices e que $V(G) = \{0, 1, \dots, n - 1\}$, a ideia é a seguinte. Dado um passeio ótimo sobre um grafo, considere que ele começa no vértice 0.



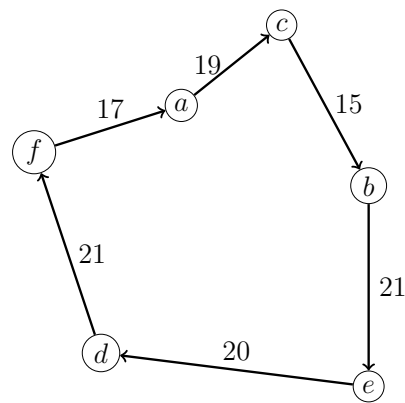
(a) Grafo G .



(b) Primeira permutação, (a, b, c, d, f, e, a) .



(c) Segunda permutação, (a, b, c, e, d, f, a) .



(d) Solução final, (a, c, b, e, d, f, a) .

Figura 2: Exemplo da execução do algoritmo de força bruta.

Observando esse passeio até o vértice i , suponha que faltam k vértices j_1, j_2, \dots, j_k até retornar ao vértice de partida 0. Veja que o caminho de i até 0 passando por $j_1, \dots, j_k, 0$ deve ser mínimo, uma vez que o passeio é ótimo. Vamos denotar então por $f(i; j_1, \dots, j_k)$ o comprimento de tal caminho. Com isso temos que $f(0; j_1, \dots, j_n)$ é o custo da solução ótima do TSP.

Considerando $c(i, j)$ como a distância entre os vértices i e j , e sendo $f(i; j) = c(i, j) + c(j, 0)$, a equação a seguir define a relação necessária para o algoritmo de programação dinâmica:

$$f(i; j_1, \dots, j_k) = \min_{1 \leq m \leq k} \{c(i, j_m) + f(i; j_1, j_2, \dots, j_{m-1}, j_{m+1}, \dots, j_k)\}, \quad (1)$$

sendo que a sequência de valores escolhidos de m que minimizam a equação nos dá o passeio ótimo em si.

A ideia do algoritmo, portanto, como todo algoritmo de programação dinâmica, é guardar esses valores da função f em memória para reutilizá-los rapidamente ao invés de recalculá-los.

4.3 *Branch and bound*

O algoritmo *branch and bound* consiste em testar todas as possíveis combinações válidas de passeios, porém durante a construção de cada nova combinação acontece uma checagem a cada adição de vértice, que compara o custo da nova combinação até o momento com o custo da melhor solução já completada anteriormente. Caso seja menor, guardamos essa nova combinação para comparar com as combinações subsequentes. Caso seja maior, não continuaremos a tentar construir o passeio atual. No final, teremos uma solução ótima por estarmos analisando todo o espaço de busca.

O Algoritmo 2 formaliza o procedimento. Ele recebe o grafo G sobre o qual queremos calcular o ciclo hamiltoniano de menor custo possível, uma função c de custo das arestas de G , uma variável *solAtual* que contém o passeio que está sendo construído no momento, uma variável *solOpt* que contém o ciclo completo de menor peso que foi construído até o momento, e recebe um vértice q que será o vértice inicial para se criar os caminhos. Na primeira chamada à essa função, enviamos *solAtual* contendo um único vértice inicial qualquer e *solOpt* contendo um passeio qualquer, só que considerando que todas as arestas desse passeio tenham o peso da maior aresta de G . Isso porque qualquer solução do problema terá que ter custo menor do que este.

A condição da linha 2 verifica se *solAtual* é hamiltoniano e se esse ciclo tem custo menor que o custo do *solOpt* e, caso sim, *solAtual* passa a ser a melhor solução, *solOpt*, e é devolvida na linha 4.

Na linha 7 temos uma condição que verifica se o custo de *solAtual* mais o custo da menor aresta de G vezes o número de arestas que falte a para a solução atual é menor que o

Algoritmo 2: BRANCH-AND-BOUND

Entrada: $G = (V, E)$, c , $solAtual$, $solOpt$

```
1 início
2   se  $solAtual$  tem todos os vértices e  $c(solAtual) < c(solOpt)$  então
3      $solOpt \leftarrow solAtual$ 
4     retorna  $solOpt$ 
5   Seja  $e_{min}$  a aresta de menor custo em  $G$ 
6   Seja  $x$  a quantidade de vértices de  $G$  que ainda não estão em  $solAtual$ 
7   se  $c(solAtual) + xc(e_{min}) < c(solOpt)$  então
8     para cada vértice  $v$  que ainda não está em  $solAtual$  faça
9       se  $c(solAtual + v) < c(solOpt)$  e  $c(solAtual) + xc(e_{min}) < c(solOpt)$ 
10        então
11           $solOpt \leftarrow \text{BRANCH-AND-BOUND}(G, c, solAtual + v, solOpt)$ 
12    retorna  $solOpt$ 
```

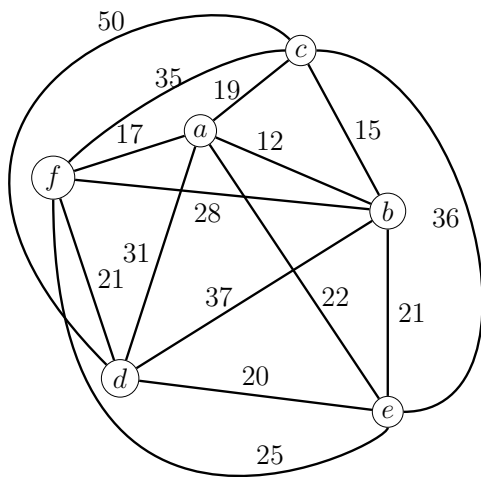
custo de $solOpt$, pois caso fosse maior, não seria necessário continuar a testar adicionar vértices a $solAtual$. Caso essa condição seja verdadeira, entramos no laço da linha 8 que é responsável por verificar todos os vértices que não estão em $solAtual$, para que na condição da linha 9 seja verificado quais desses vértices, se adicionados à $solAtual$, ainda deixam o custo menor que o custo de $solOpt$. Se o custo for menor, então na linha 10 faz-se uma chamada recursiva com os parâmetros G , c , $solAtual + v$, que é $solAtual$ com a adição de v ao fim, e $solOpt$. Um exemplo de execução desse algoritmo encontra-se na Figura 3.

Veja que o tempo de pior caso do *branch and bound* vai ser o mesmo do algoritmo de força bruta, pois ainda temos a chance de ter que percorrer todas as soluções possíveis.

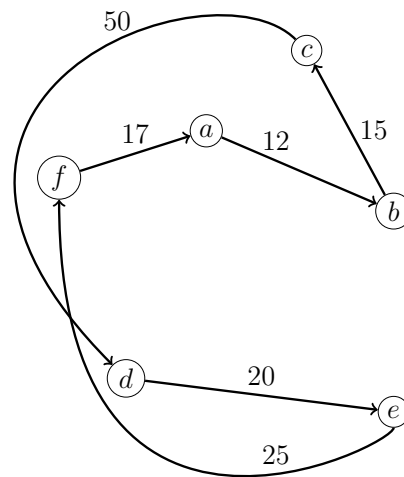
4.4 Programação linear

Programação linear é uma maneira formal de descrever um problema de otimização, seja ele de maximização (*Programa linear de maximização*) ou de minimização (*Programa linear de minimização*). De forma geral, todo programa linear tem um conjunto de **variáveis de decisão**, que indicam as escolhas feitas para chegar a uma solução, de **restrições**, que descrevem as características do problema, e uma **função de objetivo**, que indica o custo das soluções e se o programa linear é de maximização ou de minimização. A função de objetivo e as restrições de um programa linear são representadas por equações ou inequações lineares.

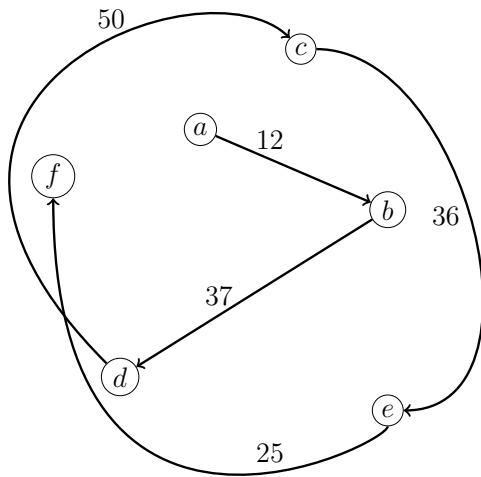
Para o problema do caixeiro viajante definimos seu programa linear da seguinte forma. Seja x_{ij} uma variável cujo valor é 1, se a aresta $ij \in E$ for escolhida para fazer parte do



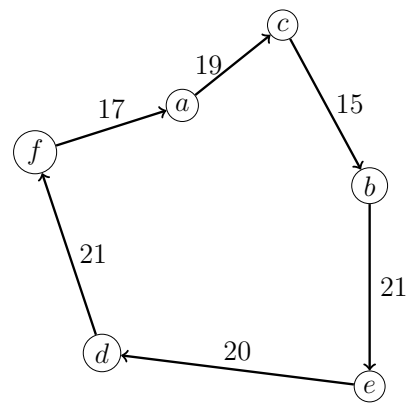
(a) Grafo G .



(b) Primeira solução completa, (a, b, c, d, e, f, a) .



(c) Corte antes de completar o ciclo, (a, b, d, c, e, f) .



(d) Solução final, (a, c, b, e, d, f, a) .

Figura 3: Exemplo de execução do algoritmo *branch and bound*.

ciclo, ou é 0, caso contrário. Considere o seguinte programa linear inteiro [6]:

$$\text{minimizar } \sum_{j=1}^n \sum_{i=1}^n c(ij)x_{ij} \quad (2)$$

$$\text{sujeito a } \sum_{i=1}^n x_{ij} = 2 \quad \forall j \in V \quad (3)$$

$$\sum_{i,j \in S} x_{ij} \leq |S| - 1 \quad \forall S \subset V, S \neq \emptyset \quad (4)$$

$$x_{ij} \in \{0, 1\} \quad \forall i, j \in V, i < j \quad (5)$$

Note que ele formaliza o problema do caixeiro viajante: a função objetivo em (2) indica que queremos minimizar o custo das arestas escolhidas, a restrição (3) garante que cada vértice será visitado uma vez pelo ciclo (pois duas arestas devem sair desse vértice), e a restrição (4) garante que não serão formados ciclos que não sejam hamiltonianos (todo subconjunto de vértices de G que não seja o próprio V deve ter no máximo $|S| - 1$ arestas ligando seus vértices – dessa forma, não é possível S conter um ciclo).

Infelizmente, note que existem $O(2^{|V|})$ restrições do tipo (4), uma para cada possível subconjunto de vértices, fazendo que essa formulação seja inviável conforme o tamanho do grafo aumenta. Existem técnicas de implementação que permitem contornar essa situação.

Programas lineares cujas variáveis que formulam o problema são contínuas pode ser resolvido em tempo polinomial, enquanto programas lineares inteiros (PLI), que é uma classe dos programas lineares cujas variáveis podem apenas assumir valores inteiros, são NP-difíceis [14], ou seja, são problemas cuja a solução ótima provavelmente não pode ser encontrada em tempo polinomial. Como visto, as variáveis que definem o problema do caixeiro viajante só podem assumir valores binários, por isso sua formulação está dentro da classe do PLI, o que é condizente com o fato de este ser um problema NP-difícil.

4.5 Algoritmo guloso

Parberry [10] define um algoritmo guloso como, dada uma solução parcial para um subproblema, deve-se aumentá-la sucessivamente para solucionar o problema completo, sendo que esse aumento deve ser feito de maneira gulosa, ou seja, sempre escolhendo a opção que no momento seja mais vantajosa. Para o problema do caixeiro viajante, a ideia é construir um passeio fazendo escolhas gulosas pelo próximo vértice.

Inicialmente temos um vértice inicial qualquer no passeio. O próximo vértice será o vizinho de menor peso do último vértice que foi adicionado ao passeio e que ainda não esteja presente no passeio. Isso é repetido até que todos os vértices do grafo estejam presentes na solução. O Algoritmo 3 formaliza essa ideia.

Na linha 2 cria-se a variável *verticeAtual*, que começa primeiramente como um vértice

Algoritmo 3: GULOSO

Entrada: $G = (V, E)$, c

```
1 início
2    $verticeAtual \leftarrow$  vértice qualquer
3    $passeio \leftarrow (verticeAtual)$ 
4   repita
5      $novoVertice \leftarrow$  qualquer vizinho de  $verticeAtual$ 
6     para cada vizinho  $u$  de  $verticeAtual$  que não está em  $passeio$  faça
7       se  $c(u, verticeAtual) < c(novoVertice, verticeAtual)$  então
8          $novoVertice \leftarrow u$ 
9        $passeio \leftarrow passeio + novoVertice$ 
10       $verticeAtual \leftarrow novoVertice$ 
11 até  $V \setminus passeio = \emptyset$ ;
12 retorna  $passeio$ 
```

qualquer e, conforme a execução do algoritmo, vai sendo atualizada para ser o último vértice adicionado ao passeio. Esse passeio será armazenado em $passeio$, que é inicializado com $verticeAtual$.

No laço da linha 4 acontece a construção do passeio de forma gulosa, que só termina quando o passeio conter todos os vértices de G . Na linha 6 pegamos o vizinho que ainda não está no passeio e é mais próximo do último vértice adicionado, para que na linha 9 adicionemos esse vizinho ao passeio. Como mostrado na linha 10 esse vizinho passa a ser o novo $verticeAtual$, portanto. Um exemplo de execução desse algoritmo encontra-se na Figura 4.

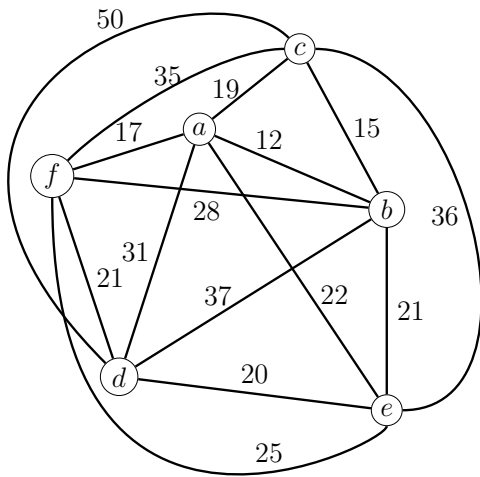
Como iteramos por todos os vértices de G para adicionarmos eles no caminho, e em cada iteração checamos todos os possíveis vizinhos de um vértice, no pior caso iteramos por $|V| - 1$ vértices, esse algoritmo tem um tempo de execução $O(|V|^2)$.

4.6 Algoritmo *Cheapest insertion*

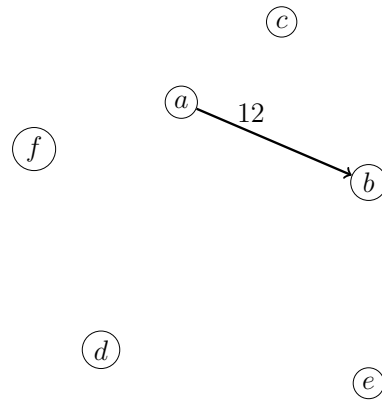
O algoritmo *Cheapest insertion* é uma 2-aproximação que se baseia em um método apresentado por Nicholson [7] e analisado por Rosenkrantz *et al.* [13]. Ele recebe o grafo G , uma função de custo c sobre as arestas e um vértice inicial q (pode ser escolhido aleatoriamente).

Esse algoritmo é uma 2-aproximação para casos do problema do caixeiro viajante métrico, isso é, grafos em que o custo de ir de um vértice u a um vértice w não é maior do que o custo de um caminho alternativo que, antes de chegar a w , passa por um vértice intermediário v . Formalmente, dizemos que G é métrico se para todo trio de vértices u, v, w temos que $c(u, w) \leq c(u, v) + c(v, w)$.

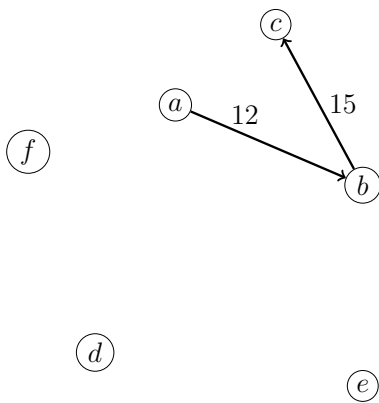
Mesmo assim, o algoritmo *Cheapest insertion* ainda pode ser usado como heurística para resolver o problema para casos não métricos, porém não será garantido que ainda será uma 2-aproximação.



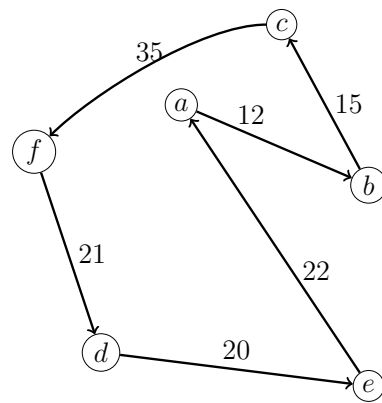
(a) Grafo G .



(b) Primeira aresta adicionada, (a, b) .



(c) Segunda aresta adicionada, (a, b, c) .



(d) Solução final, (a, b, c, f, d, e, a) .

Figura 4: Exemplo de execução do algoritmo guloso

A ideia do algoritmo é manter um ciclo T sobre um conjunto de vértices e aumentar T , para que eventualmente ele vire um ciclo hamiltoniano, escolhendo um vértice que não está em T da seguinte forma. Seja ij uma aresta do ciclo T atual e x um vértice que não está em T . O ciclo T pode ser aumentado trocando a aresta ij pelas arestas ix e xj . Esse ciclo T é chamado *subtour*. Ele está formalizado no Algoritmo 4.

Algoritmo 4: CHEAPEST-INSERTION

Entrada: $G = (V, E)$, c , q

- 1 **início**
- 2 Seja r um vértice de G que minimize $c(qr)$
- 3 $T \leftarrow (q, rq)$
- 4 **para cada** $x \in V \setminus V(T)$ **faça**
- 5 Seja $(i, j) \in T$
- 6 Insira x em T , entre i e j , que minimize $c(ix) + c(xj) - c(ij)$
- 7 **retorna** T

Na linha 3 inicia-se um *subtour* que começa e termina no vértice inicial q e passa pelo vértice r , sendo esse o vértice que proporcionará o menor valor $c(qr)$. O laço da linha 4 seleciona vértices x que estão no grafo de entrada G mas que ainda não estão em T , e escolhe arestas ij de T de maneira que inserindo x entre i e j minimize $c(ix) + c(xj) - c(ij)$. Assim, os vértices inseridos em T tentam aumentar seu custo da menor maneira possível. Cada repetição do laço cria um novo *subtour* de acordo com o método de inserção descrito por Nicholson [7], até que todos os vértices de V estejam dentro do *tour* T . Um exemplo de execução do algoritmo pode ser visto na Figura 5.

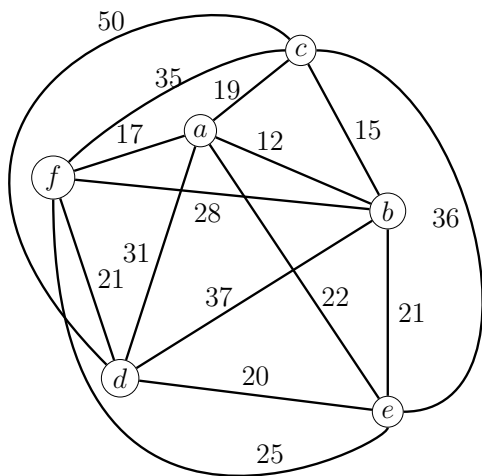
Como iteramos por todos os vértices de G para irmos inserindo eles no ciclo, e para cada inserção nós ainda iteramos entre todos os pares vértices fora do ciclo para encontrar a menor aresta para que temos a melhor inserção, cada inserção tem um tempo de $O(|V|^2)$, de forma que esse algoritmo tem um tempo de execução $O(|V|^3)$.

4.7 Algoritmo de Christofides

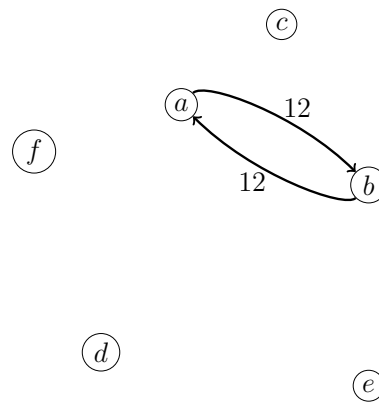
O algoritmo de Christofides [2] é uma $\frac{3}{2}$ -aproximação, sendo até o momento o algoritmo com melhor fator de aproximação para o problema do caixeiro viajante.

Note que, como o algoritmo mostrado na Seção 4.6, a aproximação do algoritmo de Christofides só vale para grafos métricos, sendo ainda possível usá-lo como heurística para casos não métricos, porém sem a garantia da $\frac{3}{2}$ -aproximação.

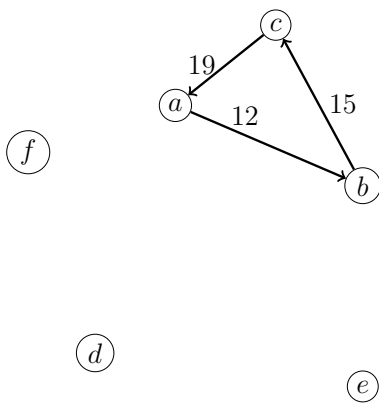
Ele recebe o grafo G e uma função de custo c sobre as arestas. A ideia é construir um ciclo hamiltoniano por meio de outro subgrafo hamiltoniano: uma árvore geradora, que é um subgrafo cuja as arestas tocam todos os vértices do grafo que o gerou, sendo então uma árvore geradora mínima um subgrafo que consegue ter as arestas tocando todos os vértices, mas com o menor custo possível. Existem algumas formulações de algoritmos para realizar essa tarefa, nesse projeto utilizou-se o algoritmo de Kruskal.



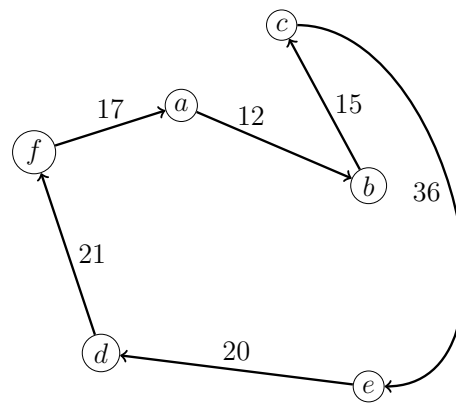
(a) Grafo G .



(b) Ciclo inicial, (a, b, a) .



(c) Primeira inserção, (a, b, c, a) .



(d) Solução final, (a, b, c, e, d, f, a)

Figura 5: Exemplo de execução do algoritmo *Cheapest insertion*.

Partindo da árvore geradora mínima, encontramos um emparelhamento perfeito de custo mínimo sobre os vértices de grau ímpar. Um emparelhamento pode ser definido como a seleção de arestas cujos extremos não se tocam, ou seja, arestas que não possuem vértices compartilhados entre si, sendo que o emparelhamento é dado como perfeito quando todos os vértices dados têm arestas que os tocam. Como o grafo é completo e existe um número par de vértices de grau ímpar na árvore, esse emparelhamento realmente existe.

A partir da adição da árvore geradora mínima com o emparelhamento perfeito, deve-se encontrar uma trilha Euleriana sobre esse novo grafo. Uma trilha Euleriana é um passeio que irá visitar todas as arestas sem repetir nenhuma delas, porém, muito provavelmente, vértices serão repetidos.

A partir da trilha feita, devemos fazer *shortcuts* sobre ela para no fim gerar um ciclo Hamiltoniano. *Shortcuts* são úteis para remover trechos já visitados em *passeios*. Dado um passeio (a_1, a_2, \dots, a_k) em um grafo, onde cada a_i é um vértice e todo $a_i a_{i+1}$ é aresta do grafo, definimos um *shortcut* como a substituição de um trecho a_i, a_{i+1}, \dots, a_j pela aresta direta $a_i a_j$.

O algoritmo de Christofides é formalizado no Algoritmo 5.

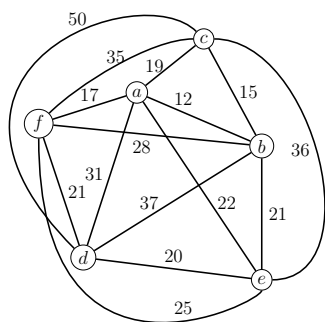
Algoritmo 5: CHRISTOFIDES

Entrada: $G = (V, E), c$

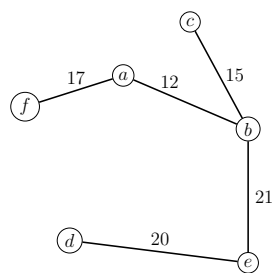
- 1 **início**
- 2 $T \leftarrow \text{ÁRVOREGERADORAMÍNIMA}(G, c)$
- 3 $M \leftarrow$ Emparelhamento perfeito de custo mínimo sobre os vértices de grau ímpar de T
- 4 $F \leftarrow$ Trilha Euleriana sobre $T + M$
- 5 $H \leftarrow$ Ciclo Hamiltoniano fazendo *shortcuts* em F
- 6 **retorna** H

Na linha 2 o algoritmo chama uma função que retorna uma árvore geradora mínima do grafo G e armazena essa árvore em T . Na linha 3 é criado um emparelhamento apenas sobre os vértices de grau ímpar da árvore T . Isso é feito pois no grafo $T + M$ todos os vértices possuem grau par. Assim, na linha 4 podemos criar uma trilha Euleriana F sobre $T + M$. A partir da trilha Euleriana formada, criamos um ciclo Hamiltoniano H eliminando vértices que se repetem em F , da mesma forma do algoritmo anterior. A Figura 6 dá um exemplo de como o algoritmo funciona.

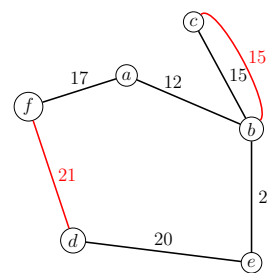
Sabemos que o tempo de execução do algoritmo de Kruskal para encontrar a árvore geradora mínima de G é $O(|E| \log |V|)$ [3], do algoritmo de emparelhamento perfeito é $O(|V|^2 |E|)$ [5], para encontrar a trilha Euleriana é $O(|E|)$ e, por fim, para realizar todos os *shortcuts* leva-se o tempo $O(|V|)$. Com isso, o tempo total do algoritmo é $O(|V|^2 |E|)$.



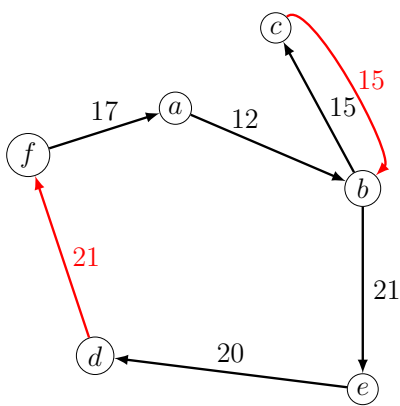
(a) Grafo G .



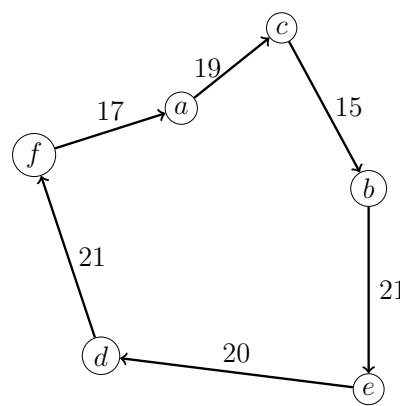
(b) Árvore geradora mínima T .



(c) $T+M$.



(d) Trilha euleriana $F = (a, b, c, b, e, d, f, a)$.



(e) Ciclo final $H = (a, c, b, e, d, f, a)$.

Figura 6: Exemplo de execução do algoritmo de Christofides.

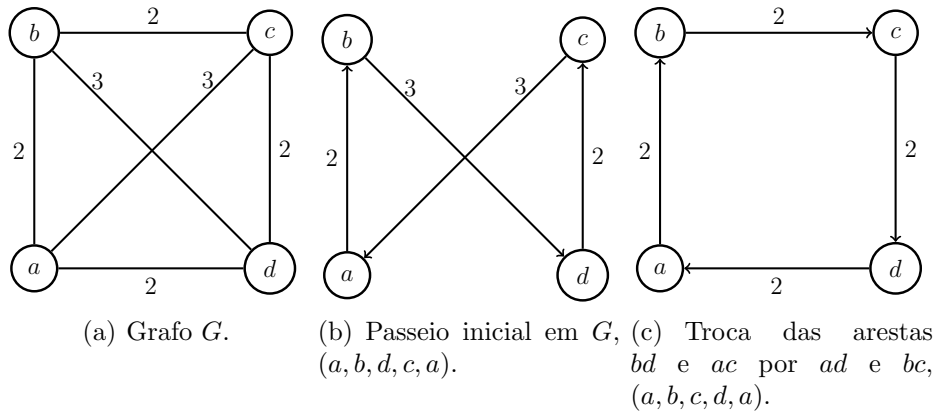


Figura 7: Exemplo de como acontece a troca de arestas do algoritmo 2-OPT.

4.8 Algoritmo 2-Opt

O algoritmo 2-OPT foi proposto por Croes [4] e ele é uma heurística cujo objetivo é melhorar o custo de uma solução não ótima através de trocas de duas arestas do passeio por outras duas, de maneira que reduza ao máximo o peso da solução atual.

A Figura 7 mostra um exemplo de como essa troca de arestas acontece. Vale ressaltar que no exemplo dado não há outra possível troca de arestas que diminua o peso da solução depois da primeira troca, por isso o algoritmo terminaria com essa solução, porém, caso houvesse uma troca que diminuísse o custo desse passeio final, o algoritmo continuaria até que não houvesse mais trocas que abajassem o seu custo.

O Algoritmo 6 mostra como fazer a troca de duas arestas. Ele recebe o grafo G , a função de custo c , um ciclo hamiltoniano sobre G e duas arestas e_1 e e_2 que estão no ciclo. A ideia é realizar as duas possíveis trocas das arestas e_1 e e_2 que ainda resulte em um ciclo completo, e devolver um ciclo válido gerado pela troca que seja de menor custo.

Algoritmo 6: TROCA-DUAS-ARESTAS

Entrada: $G = (V, E)$, c , $ciclo$, e_1 , e_2

1 **início**

2 Sejam a_{e_i} e b_{e_i} os extremos da aresta e_i
 3 $troca_1 \leftarrow ciclo - e_1 - e_2 + a_{e_1}a_{e_2} + b_{e_1}b_{e_2}$
 4 $troca_2 \leftarrow ciclo - e_1 - e_2 + a_{e_1}b_{e_2} + a_{e_2}b_{e_1}$
 5 **se** $c(troca_1) \leq c(troca_2)$ **então**
 6 | **retorna** $troca_1$
 7 **retorna** $troca_2$

Nas linhas 3 e 4 realizamos as trocas de arestas, primeiro removendo do ciclo as duas arestas de entrada do algoritmo, para depois adicionar arestas com os extremos das duas arestas removidas.

Após isso, na linha 5 vemos qual das trocas nos dá o ciclo de menor peso para o retornamos depois.

O algoritmo completo, 2-OPT, é mostrado no Algoritmo 7. Ele recebe o grafo G de entrada, a função c de custo nas arestas de G e um ciclo já G como o grafo que iremos calcular o ciclo de menor custo possível, c que é a função de custo das arestas de G , e por fim um *ciclo* não ótimo que tentaremos melhorar com a função de troca.

Algoritmo 7: 2-OPT

Entrada: $G = (V, E)$, c , *ciclo*

```

1 início
2    $trocou \leftarrow 1$ 
3   repita
4      $trocou \leftarrow 0$ 
5     para cada aresta  $e_1 \in ciclo$  faça
6       para cada aresta  $e_2 \in ciclo - e_1$  faça
7          $cicloTroca \leftarrow \text{TROCA-DUAS-ARESTAS}(G, c, ciclo, e_1, e_2)$ 
8         se  $c(cicloTroca) < c(ciclo)$  então
9            $trocou \leftarrow 1$ 
10           $ciclo \leftarrow cicloTroca$ 
11 até  $trocou = 0$ ;
12 retorna ciclo

```

Na linha 2 se inicia a variável *trocou*, que será utilizada no laço da linha 3 para sinalizar quando não for possível melhorar a solução atual com a função de troca. Na linha 9 mudamos o valor da variável *trocou* para 1, caso exista uma troca no passeio atual que diminua seu custo. Assim, se essa linha não for executada, a variável segue com o valor 0 e o laço é interrompido.

Nos dois laços das linhas 5 e 6, realizamos todas as possíveis combinações de arestas do *ciclo*, para que na linha 7 possamos testar todas as possíveis trocas de arestas feitas pela função TROCA-DUAS-ARESTAS.

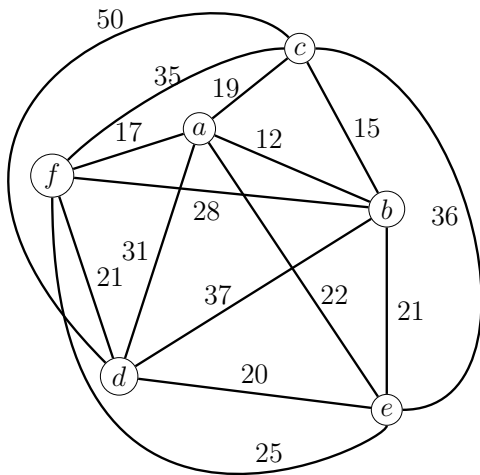
Na condição da linha 8 verificamos se a troca feita resultou em uma solução de custo melhor do que o custo da solução atual e, caso sim, essa se torna a nova solução atual, e atualizamos a variável *trocou*.

Um exemplo de execução desse algoritmo é dado na Figura 8.

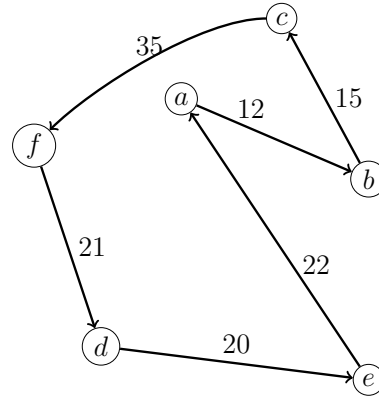
Para compararmos todos os pares de aresta do ciclo inicial e fazer a troca leva o tempo de $O(|V|^2)$, porém, como não sabemos quantas vezes essa troca deve ser feita até chegar na solução final, aquela que não é possível melhorar com uma troca, não é possível determinar o tempo do algoritmo completo.

5 Implementações

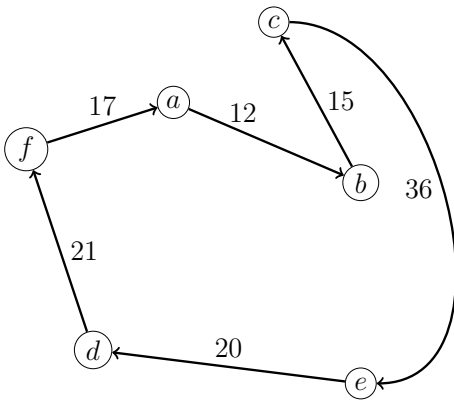
Como dito na introdução, todos os algoritmos citados anteriormente foram implementados na linguagem de programação Python, sendo usada principalmente o Networkx [9], uma biblioteca que fornece recursos que facilitam a criação e manipulação de grafos.



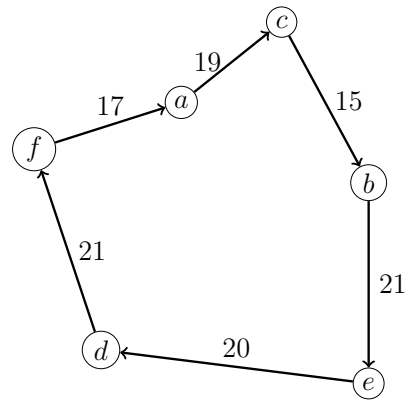
(a) Grafo G .



(b) Solução final do algoritmo guloso, (a, b, c, f, d, e, a) .



(c) Troca $(a - e)$ com $(c - f)$, ficando (d, e, a, b, c, f, a) .



(d) Troca $(a - b)$ com $(c - e)$, ficando (a, c, b, e, d, f, a) (solução final).

Figura 8: Exemplo de execução do algoritmo 2-OPT.

O Código 1 apresenta nossa implementação do algoritmo de força bruta, descrito na Seção 4.1. Ele faz uso da função `gen_tsp`, que recebe um objeto genérico que representa um ciclo Hamiltoniano, e retorna um ciclo formatado para o TSP, ajudando assim na padronização das soluções dos algoritmos.

Veja que para implementar a geração de todas as permutações do conjunto de vértices usamos uma função `permutacao`, que recebe uma sequência numerada de vértices, e de maneira sequencial realiza uma troca entre o primeiro valor, da direita para esquerda, da posição $i - 1$ que seja maior que o valor da posição i , com o primeiro valor na posição j , também da direita para esquerda, que seja menor que $i - 1$, e após isso, invertemos essa lista da posição i para frente. Isso faz com que cada vez que a função seja chamada com uma permutação qualquer, ela devolva a próxima permutação, em ordem lexicográfica.

Código 1: Implementação do algoritmo de força bruta.

```
import networkx as nx

# permutacao():
# recebe sequencia qualquer (lista)
# devolve proxima sequencia da permutacao (lista)
def permutacao(p):

    # achando o valor da posição i-1 que seja maior que o valor da posição i
    i = len(p) - 1
    while p[i-1] > p[i]:
        i -= 1

    # achando o valor da posição j que seja menor que i-1
    j = len(p) - 1
    while p[j] < p[i-1]:
        j -= 1

    # trocando valores das posicoes i-1 e j
    aux = p[i-1]
    p[i-1] = p[j]
    p[j] = aux

    # invertendo a list de i para frente
    aux_list = p[i:]
    aux_list.reverse()
    p[i:] = aux_list

    return p

def forca_bruta(G):
    vertices = list(G.nodes)
    # vértice 0 é o ponto de inicio, e não fará parte da permutação
    vertices.remove(0)

    # gera ciclo inicial
    opt_tsp = gen_tsp(G, vertices)
    ciclo_opt = vertices

    perm = permutacao(vertices.copy())

    # laço que termina quando a permutacao gerada for igual à solução inicial
    while perm != vertices:
        tsp = gen_tsp(G, perm)

        if tsp.size(weight='weight') < opt_tsp.size(weight='weight'):
            opt_tsp = tsp
            ciclo_opt = perm.copy()

        perm = permutacao(perm)

    return opt_tsp
```

O Código 2 apresenta nossa implementação do algoritmo *branch and bound*, descrito na Seção 4.3. Ele utiliza uma estrutura recursiva, que a cada chamada de recursão passa um novo passeio atual, e verifica se esse novo passeio é completo e menor que a melhor solução até o momento, e caso seja, atualiza a melhor solução. Caso não esteja completo ainda, verifica quais vértices ainda podem ser adicionados a ele, contanto que haja chances de melhorar o custo da melhor solução.

Código 2: Implementação do algoritmo de *branch and bound*.

```
import networkx as nx

def bbtsp(G, sol=[], custo_sol=0, melhor_custo=0, melhor_sol=[], menor_aresta=-1):
    # caso ainda não exista solução, inicia uma
    if sol == []:
        arestas = sorted(g.edges(data = True),
                        key = lambda t: t[2].get('weight', 1))

        maior_aresta = arestas[-1][2]['weight']
        menor_aresta = arestas[0][2]['weight']

        melhor_custo = maior_aresta*(G.number_of_nodes() - 1)
        sol = [0]

    # se a solução atual está completa, comparar com a melhor solução até o momento
    if G.number_of_nodes() == len(sol):
        if custo_sol + G[sol[-1]][0]['weight'] < melhor_custo:
            melhor_custo = custo_sol + G[sol[-1]][0]['weight']
            melhor_sol = sol + [0]

        return melhor_sol, melhor_custo

    # tenta adicionar vértices à solução atual
    for v in G.nodes:
        if v not in sol:
            # só gera soluções cujo custo seja menor que o melhor custo até o momento
            if custo_sol + G[sol[-1]][v]['weight'] < melhor_custo and
                custo_sol + menor_aresta*(G.number_of_nodes()-len(sol)) < melhor_custo:
                nova_solucao = bbtsp(G,
                                    sol + [v],
                                    custo_sol + G[sol[-1]][v]['weight'],
                                    melhor_custo,
                                    melhor_sol,
                                    menor_aresta)
                melhor_sol, melhor_custo = nova_solucao

    return melhor_sol, melhor_custo
```

O Código 3 apresenta nossa implementação do programa linear, descrito na Seção 4.4, com o Gurobi [8]. Como mencionamos, implementar o programa linear que foi apresentado na Seção 4.4 de forma direta não seria viável, pois existem $O(2^{|V|})$ restrições nele. Ao invés disso, a implementação usa restrições *lazy* que são restrições que muito provavelmente não serão violadas, e que só serão aplicadas quando for realmente necessário, sendo que não são especificadas no início do programa, sendo apenas utilizadas quando forem requeridas. Para o problema do caixeiro viajante utilizamos uma restrição *lazy* para a restrição que impede que se formem subciclos, e assim, ela não é executada a todo momento, economizando um tempo considerável de execução, tornando a implementação da programação linear viável. No código, utilizamos as funções já prontas `subtourelim` e `subtour`¹.

Código 3: Implementação do algoritmo de programação dinâmica.

```
import networkx as nx
```

¹https://www.gurobi.com/documentation/9.0/examples/tsp_py.html

```

from gurobipy import GRB
from gurobipy import tuplelist
from gurobipy import quicksum
from gurobipy import Model

from itertools import combinations

# Copyright 2020, Gurobi Optimization, LLC

# https://www.gurobi.com/documentation/9.0/examples/tsp_py.html
def subtourelim(model, where):
    if where == GRB.Callback.MIPSOL:
        # verifica as arestas selecionadas pela solucao
        vals = model.cbGetSolution(model._vars)
        selected = tuplelist((i, j) for i, j in model._vars.keys() if vals[i, j] > 0.5)

        # atraves das arestas selecionadas, geramos um ciclo
        tour = subtour(selected)
        if len(tour) < n:
            # restricao lazy para nao formar subciclos
            model.cbLazy(quicksum(model._vars[i, j] for i, j in combinations(tour, 2)) <= len(tour)-1)

# subtour():
# recebe arestas selecionadas (gurobipy.tuplelist)
# devolve melhor subciclo sobre as arestas selecionadas (lista)
def subtour(edges):
    # lista de vertices que ainda nao foram incluidos no ciclo
    unvisited = list(range(n))
    # iniciando ciclo generico para comparacao inicial
    cycle = range(n+1)

    # sai do laco quando a lista de vertices nao incluidos no ciclo estiver vazia
    while unvisited:
        # inicia ciclo auxiliar
        thiscycle = []

        # copiamos a lista de vertices fora do ciclo como vizinhos
        neighbors = unvisited

        # sai do laco quando a lista de vizinhos estiver vazia
        while neighbors:
            # definimos o vertice atual do ciclo
            current = neighbors[0]

            # adicionamos o vertice atual ao ciclo auxiliar
            thiscycle.append(current)

            # removemos o vertice atual da lista de vertices nao incluidos no ciclo
            unvisited.remove(current)

            # atualizamos os vizinhos como todos os vertices vizinhos do vertice atual
            # que ainda nao foram incluidos no ciclo auxiliares
            neighbors = [j for i, j in edges.select(current, '*') if j in unvisited]

        # se o ciclo auxiliar for tiver custo menor que o ciclo principal, ele se torna
        # o ciclo principal
        if len(cycle) > len(thiscycle):
            cycle = thiscycle
    return cycle

def tsp_programacao_linear(G):
    tsp = nx.Graph()

    # transformando grafo em uma matriz de adjacências
    mat = {(e[0], e[1]): e[2]['weight'] for e in G.edges(data=True)}

    # criando modelo de programacao linear
    model = Model()

    # adicionando uma variável para cada aresta do grafo (binárias, valendo 1
    # caso a aresta seja escolhida e 0 caso contrário)
    edges = model.addVars(mat.keys(), obj=mat, vtype=GRB.BINARY, name='edges')

    # como não é um grafo orientado, garantimos que a aresta é a mesma, independente
    # da ordem dos vértices

```

```

for i, j in edges.keys():
    edges[j, i] = edges[i, j]

# restrição para que cada vértice tenha duas arestas ligadas a ele
model.addConstrs(edges.sum(i, '*') == 2 for i in range(n))

# dizendo ao modelo que iremos utilizar lazy constraints
model.Params.lazyConstraints = 1

# iniciando otimização
model._vars = edges
model.optimize(subtourelim)

vals = model.getAttr('x', edges)
selected = tuplelist((i, j) for i, j in vals.keys() if vals[i, j] > 0.5)

# transformando as variáveis selecionadas em um grafo com a solução
for e in selected:
    tsp.add_edge(e[0], e[1], weight = G[e[0]][e[1]]['weight'])

return tsp

```

O Código 4 apresenta nossa implementação do algoritmo guloso, descrito na Seção 4.5. Sua implementação é bem direta quando comparada ao pseudocódigo apresentado.

Código 4: Implementação do algoritmo guloso.

```

import networkx as nx

def guloso(G):
    tsp = nx.Graph()

    vertices_visitados = [0]*G.number_of_nodes()
    vertice_atual = 0

    # adicionando novas arestas até que todos os vertices sejam visitados
    vertices_visitados[vertice_atual] = 1
    while 0 in vertices_visitados:
        # iremos adicionar o vizinho de menor custo do vertice atual
        vizinhos_atual = [(vertice_atual, i) for i in G.neighbors(vertice_atual)
                          if vertices_visitados[i] != 1]
        w = [G[i[0]][i[1]]['weight'] for i in vizinhos_atual]
        menor_aresta = sorted(zip(w, vizinhos_atual))[0][1]

        tsp.add_edge(vertice_atual, menor_aresta[1],
                    weight=G[vertice_atual][menor_aresta[1]]['weight'])

        vertice_atual = menor_aresta[1]

        # atualiza lista de vertices visitados
        vertices_visitados[vertice_atual] = 1

    tsp.add_edge(vertice_atual, 0, weight=G[vertice_atual][0]['weight'])

    return tsp

```

O Código 5 apresenta nossa implementação do algoritmo *Cheapest insertion*, descrito na Seção 4.6. Ele faz uso da estrutura *heap*, uma estrutura de dados baseada em árvore que armazena valores, e associa a cada um deles um peso, sendo que a operação de remoção sempre removerá o elemento de menor peso associado. Ela é usada para definir a ordem de inserção do algoritmo, pois sempre queremos inserir um novo vértice que esteja mais próximo dos vértices atuais no ciclo que está sendo construído.

Código 5: Implementação do algoritmo *Cheapest insertion*.

```

import networkx as nx
from heapq import heappush, heappop, heapify

# inserir_novas_arestas():

```



```

# recebe grafo base (networkx.Graph),
# passeio (networkx.Graph),
# aresta a ser inserita no passeio (tuple)
# devolve passeio com nova aresta inserida (lista)
def inserir_novas_arestas(G, tsp, insercao):
    # remove aresta para inserção do novo vértice
    tsp.remove_edge(*insercao[0])

    # adiciona arestas do novo vértice para os vértices da aresta excluída
    tsp.add_edge(insercao[0][0], insercao[1], weight=G[insercao[0][0]][insercao[1]]['weight'])
    tsp.add_edge(insercao[1], insercao[0][1], weight=G[insercao[1]][insercao[0][1]]['weight'])

    return nx.Graph(tsp).edge_subgraph([(insercao[0][0], insercao[1]),
                                        (insercao[1], insercao[0][1])]).edges(data=True)

# remove_dados_heap():
# recebe heap com vertices que ainda nao foram inseridos no passeio (heap),
# aresta que devemos remover da heap os vertices que a compoe (tuple)
# devolve nova heap sem os vertices removidos (heap)
def remove_dados_heap(heap, aresta_remove):
    # exclui da heap as arestas que têm extremos na aresta "insercao"
    new_heap = [item for item in heap
                if item[1][0] != aresta_remove[0] and item[1][1] != aresta_remove[1]]
    heapify(new_heap)

    return new_heap

def tsp_cheapest_insertion(G):
    # criando heap
    heap = []

    # criando MultiGraph pois precisaremos de arestas paralelas para essa resolução
    tsp = nx.MultiGraph()
    vertices_visitados = [0]*G.number_of_nodes()

    # ordenado arestas por custos
    c = sorted(G.edges(data=True), key=lambda x: x[2]['weight'])

    # criando ciclo inicial
    tsp.add_edge(c[0][0], c[0][1], weight=G[c[0][0]][c[0][1]]['weight'])
    vertices_visitados[c[0][0]] = 1

    tsp.add_edge(c[0][1], c[0][0], weight=G[c[0][1]][c[0][0]]['weight'])
    vertices_visitados[c[0][1]] = 1

    novas_arestas = tsp.edges(data=True)

    # adicionando novas arestas até que todos os vértices sejam visitados
    i = 0
    while 0 in vertices_visitados:
        # procurando vértices nao visitados
        for i in range(len(vertices_visitados)):
            if vertices_visitados[i] == 0:
                # iterando pelas arestas já presentes na solução
                for e in novas_arestas:

                    # calculando peso do grafo
                    peso_insercao = G[e[0]][i]['weight'] + G[i][e[1]]['weight'] - e[2]['weight']

                    # colocando o peso da inserção calculada na heap
                    heappush(heap, (peso_insercao, (e[:2], i)))

        # a melhor inserção possível será o primeiro elemento da heap
        insercao = heappop(heap)[1]

        # atualiza solução com a nova inserção
        novas_arestas = inserir_novas_arestas(G, tsp, insercao)

        # deleta a aresta que a inserção substitui
        heap = remove_dados_heap(heap, insercao)

        vertices_visitados[insercao[1]] = 1

    return nx.Graph(tsp)

```

O Código 6 apresenta nossa implementação do algoritmo de Christofides, descrito na Seção 4.7. Utilizamos nele as seguintes funções oferecidas pela NetworkX: `mst_kruskal`, para calcular a árvore geradora mínima, e `algorithms.matching.max_weight_matching`, para calcular o emparelhamento entre vértices de grau ímpar.

Código 6: Implementação do algoritmo de Christofides.

```
import networkx as nx
from mst_kruskal import mst_kruskal

# trilha_maximal():
# recebe grafo (T + M) (networkx.MultiGraph),
#     vertice atual da trilha (int),
#     pilha que armazenara os vertices para a trilha (list)
# devolve proximo vertice da trilha maximal (int)
def trilha_maximal(G, v, STACK):
    # funcao que busca as arestas de G que tocam v
    arestas_do_vertice = lambda v: [e for e in G.edges() if v in e]

    # laço termina quando nao houverem mais arestas que toquem v
    while len(arestas_do_vertice(v)) > 0:
        # adiciona v a pilha
        STACK.append(v)

        # arestas que tocam v
        arestas = arestas_do_vertice(v)

        # remove uma das arestas que tocam v
        arestas_remove = arestas[0]
        G.remove_edge(arestas_remove[0], arestas_remove[1])

        # atualiza v com o outro vertice da aresta que foi removida
        v = arestas_remove[0] if arestas_remove[0] != v else arestas_remove[1]

    return v

# trilha_euleriana():
# recebe grafo (T + M) (networkx.MultiGraph),
#     vertice atual da trilha (int)
# devolve trilha euleriana sobre o grafo base (list)
def trilha_euleriana(G, v):
    # cria pilha
    STACK = []

    # inicia trilha
    trilha = [v]

    # busca o vertice da pilha que forme uma trilha maximal com o vertice atual
    # o laço termina quando nao houver mais vertices para formar a trilha maximal
    # com v, e nesse caso a funcao retorna o v, ou quando a pilha estiver vazia
    while (trilha_maximal(G, v, STACK) == v) and (STACK != []):
        v = STACK.pop()
        trilha.append(v)

    return trilha

# emparelhamento_vert_grau_impár():
# recebe grafo base (networkx.Graph),
#     arvore geradora do grafo base (networkx.MultiGraph)
# devolve arestas para realizar o emparelhamento perfeito sobre os vertices de grau ímpar (list)
def emparelhamento_vert_grau_impár(G, T):
    # lista vertices de grau ímpar
    vertices_impares = []
    for v in list(T.nodes):
        if len(list(T.neighbors(v))) % 2 != 0:
            vertices_impares.append(v)

    # gera subgrafo sobre os vertices de grau ímpar
    H = G.subgraph(vertices_impares)

    # o networkx so oferece uma funcao de emparelhamento maximo
    # para ainda utilizarmos ela, iremos multiplicar os pesos do subgrafo com -1,
    # e somar cada peso com o maior peso do subgrafo
```

```

# isso fara com que a funcao de emparelhamento maximo na verdade retorne
# as arestas do emparelhamento perfeito

# achando o maior peso de aresta no subgrafo
maior_peso = 0
for _, _, d in H.edges(data=True):
    if d['weight'] > maior_peso:
        maior_peso = d['weight']

# multiplicando os pesos das arestas por -1 e somando com o maior peso
for _, _, d in H.edges(data=True):
    d['weight'] = -1*d['weight'] + maior_peso

# conseguindo as arestas do emparelhamento perfeito
m = nx.algorithms.matching.max_weight_matching(H, weight='weight')

return m

def tsp_christofides(G):
    # cria arvore geradora minima
    T = nx.MultiGraph(mst_kruskal(G.copy()))

    # gera o emparelhamento perfeito sobre os vertices de grau impar
    M = emparelhamento_vert_grau_impar(G.copy(), T.copy())

    # somando as arestas do emparelhamento com a arvore geradora minima
    for e in M:
        T.add_edge(e[0], e[1], weight = G[e[0]][e[1]]['weight'])

    # gerando a trilha euleriana
    trilha_euler = trilha_euleriana(T, 0)

    # gerando o ciclo hamiltoniano
    ciclo_hamiltoniano = list(dict.fromkeys(trilha_euler)) + [0]

    tsp = gen_tsp(G, ciclo_hamiltoniano)

    return tsp

```

O Código 7 apresenta nossa implementação do algoritmo 2-OPT, descrito na Seção 4.8. Essa implementação também é bem direta quando comparada ao pseudocódigo que apresentamos.

Código 7: Implementação do algoritmo 2-OPT.

```

def troca_2opt(grafo_original, tsp_inicial):
    tsp = tsp_inicial.copy()
    custo_total = tsp_inicial.size(weight='weight')

    # iteração pelas arestas fazendo as trocas que diminuem o custo do passeio
    # caso não seja feita nenhuma troca, o laço é interrompido
    trocou = True
    while trocou:
        trocou = False
        for i, e_princ in enumerate(tsp.edges(data=True)):
            for e_sec in list(tsp.edges(data=True))[i+1:]:
                if e_princ[0] not in e_sec[:2] and e_princ[1] not in e_sec[:2]:
                    # criando a primeira opcao de troca
                    aux1 = tsp.copy()
                    aux1.remove_edge(e_princ[0], e_princ[1])
                    aux1.remove_edge(e_sec[0], e_sec[1])

                    aux1.add_edge(e_princ[0], e_sec[0], \
                                weight = grafo_original[e_princ[0]][e_sec[0]]['weight'])
                    aux1.add_edge(e_princ[1], e_sec[1], \
                                weight = grafo_original[e_princ[1]][e_sec[1]]['weight'])

                    # criando a segunda opcao de troca
                    aux2 = tsp.copy()
                    aux2.remove_edge(e_princ[0], e_princ[1])
                    aux2.remove_edge(e_sec[0], e_sec[1])

                    aux2.add_edge(e_princ[0], e_sec[1], \

```

```

        weight = grafo_original[e_princ[0]][e_sec[1]]['weight']
    aux2.add_edge(e_princ[1], e_sec[0],\
        weight = grafo_original[e_princ[1]][e_sec[0]]['weight'])

    # a primeira troca gera um passeio?
    # diminui o custo do grafo atual?
    # diminui mais do que a segunda troca?
    if len(nx.cycle_basis(aux1)) == 1 and\
        aux1.size(weight='weight') < custo_total and\
        len(nx.cycle_basis(aux1)[0]) == tsp.number_of_nodes():

        if len(nx.cycle_basis(aux2)) != 1 or\
            len(nx.cycle_basis(aux2)[0]) != tsp.number_of_nodes() or\
            aux1.size(weight='weight') < aux2.size(weight='weight'):

            tsp = aux1
            custo_total = aux1.size(weight='weight')
            trocou = True
            break

    # a segunda troca gera um passeio?
    # diminui o custo do grafo atual?
    if len(nx.cycle_basis(aux2)) == 1 and\
        aux2.size(weight='weight') < custo_total and\
        len(nx.cycle_basis(aux2)[0]) == tsp.number_of_nodes():

        tsp = aux2
        custo_total = aux2.size(weight='weight')
        trocou = True
        break

return tsp

```

6 Resultados

Para testarmos as execuções dos algoritmos, utilizamos alguns grafos fornecidos pela TSPLIB [11], e também criamos alguns novos de tamanhos menores, para testarmos os algoritmos de solução ótima, sendo eles: g5, g6, g7, g8, g9, g10, g11 e g14, com respectivamente 5, 6, 7, 8, 9, 10, 11 e 14 vértices, sendo os pesos gerados aleatoriamente.

A Tabela 1 mostra o tempo de execução de cada um dos algoritmos que retornam uma solução ótima, mostrados nas Seções 4.1 4.2 4.3 e 4.4, através das implementações mostradas na Seção 5, para alguns dos grafos citados, sendo os que não aparecem marcados com o tempo, quer dizer que o algoritmo não foi executado em um tempo viável para aquele grafo.

Tabela 1: Tempo de execução dos algoritmos de solução ótima.

| Grafo | Força bruta (s) | Branch and bound (s) | Programação linear (s) | Peso da solução ótima |
|-------|-----------------|----------------------|------------------------|-----------------------|
| g5 | 0,000907 | 0,000376 | 0,004901 | 19 |
| g6 | 0,005341 | 0,000620 | 0,005338 | 12 |
| g7 | 0,035863 | 0,009054 | 0,005996 | 2443 |
| g8 | 0,268058 | 0,017654 | 0,006381 | 2447 |
| g9 | 2,559686 | 0,10729 | 0,007049 | 2692 |
| g10 | 22,444072 | 0,455042 | 0,00766 | 4389 |

| | | | | |
|----------|-----------|------------|-------------|--------|
| g11 | 256,37232 | 2,575201 | 0,008553 | 3182 |
| g14 | - | 778,987134 | 0,037047 | 3454 |
| att48 | - | - | 0,224656 | 10628 |
| eil51 | - | - | 0,086607 | 426 |
| berlin52 | - | - | 0,05076 | 7542 |
| st70 | - | - | 0,426418 | 675 |
| pr76 | - | - | 2,92887 | 108159 |
| eil76 | - | - | 0,127222 | 538 |
| rat99 | - | - | 0,643524 | 1211 |
| rd100 | - | - | 1,474202 | 7910 |
| kroA100 | - | - | 1,335066 | 21282 |
| kroB100 | - | - | 5,225921 | 22141 |
| kroC100 | - | - | 1,679684 | 20749 |
| kroD100 | - | - | 2,130524 | 21294 |
| kroE100 | - | - | 2,212337 | 22068 |
| eil101 | - | - | 0,421943 | 629 |
| lin105 | - | - | 2,177114 | 14379 |
| pr107 | - | - | 2,141814 | 44303 |
| pr124 | - | - | 18,081187 | 59030 |
| bier127 | - | - | 3,01635 | 118282 |
| ch130 | - | - | 3,062976 | 6110 |
| pr136 | - | - | 5,089435 | 96772 |
| pr144 | - | - | 30,126296 | 58537 |
| ch150 | - | - | 4,643567 | 6528 |
| kroA150 | - | - | 19,955093 | 26524 |
| kroB150 | - | - | 20,083801 | 26130 |
| pr152 | - | - | 14,064846 | 73682 |
| u159 | - | - | 4,862736 | 42080 |
| rat195 | - | - | 59,291057 | 2323 |
| d198 | - | - | 226,90502 | 15780 |
| kroA200 | - | - | 172,783273 | 29368 |
| kroB200 | - | - | 16,421794 | 29437 |
| gil262 | - | - | 501,06653 | 2378 |
| pr264 | - | - | 1394,41241 | 49135 |
| a280 | - | - | 81,236346 | 2579 |
| pr299 | - | - | 1026,40048 | 48191 |
| lin318 | - | - | 1796,670429 | 42029 |
| rd400 | - | - | 1880,611283 | 15281 |

Com relação aos algoritmos não ótimos, para todos eles fizemos uma comparação do peso que o algoritmo conseguiu com o peso da solução ótima, quando fornecido, ou com um

limitante inferior da solução ótima (LB). A divisão desses dois valores é o fator de aproximação daquela instância e encontra-se nas tabelas a seguir, sob as colunas “Comparação do peso (Solução/Ótima)”. Assim, quanto mais próximo de 1, melhor é o resultado do algoritmo.

A Tabela 2 mostra o tempo e o peso das soluções dadas pelas implementações do algoritmo guloso mostrado na Seção 4.5. Veja que o algoritmo tem uma média de aproximação de 1,2355.

Tabela 2: Tempo e peso das soluções do algoritmo guloso.

| Grafo | Tempo (s) | Peso da solução ótima | Peso da solução | Comparação do peso (Solução/Ótima) |
|----------|-----------|-----------------------|-----------------|------------------------------------|
| g5 | 0,000046 | 19 | 21 | 1,1053 |
| g6 | 0,000061 | 12 | 12 | 1,0000 |
| g7 | 0,000083 | 2443 | 2841 | 1,1629 |
| g8 | 0,000103 | 2447 | 2955 | 1,2076 |
| g9 | 0,000124 | 2692 | 3225 | 1,1980 |
| g10 | 0,002196 | 4389 | 4758 | 1,0841 |
| g11 | 0,000180 | 3182 | 3671 | 1,1537 |
| g14 | 0,000463 | 3454 | 4501 | 1,3031 |
| att48 | 0,002197 | 10628 | 12861 | 1,2101 |
| eil51 | 0,002601 | 426 | 511 | 1,1995 |
| berlin52 | 0,002514 | 7542 | 8980 | 1,1907 |
| st70 | 0,004837 | 675 | 830 | 1,2296 |
| pr76 | 0,005550 | 108159 | 153462 | 1,4189 |
| eil76 | 0,005471 | 538 | 642 | 1,1933 |
| rat99 | 0,009267 | 1211 | 1554 | 1,2832 |
| rd100 | 0,009559 | 7910 | 9938 | 1,2564 |
| kroA100 | 0,009545 | 21.282 | 27807 | 1,3066 |
| kroB100 | 0,011027 | 22141 | 29158 | 1,3169 |
| kroC100 | 0,010767 | 20749 | 26227 | 1,2640 |
| kroD100 | 0,012517 | 21294 | 26947 | 1,2655 |
| kroE100 | 0,009617 | 22068 | 27460 | 1,2443 |
| eil101 | 0,010460 | 629 | 803 | 1,2766 |
| lin105 | 0,011863 | 14379 | 20356 | 1,4157 |
| pr107 | 0,010274 | 44303 | 46680 | 1,0537 |
| pr124 | 0,014863 | 59030 | 69297 | 1,1739 |
| bier127 | 0,015729 | 118282 | 135737 | 1,1476 |
| ch130 | 0,016063 | 6110 | 7579 | 1,2404 |
| pr136 | 0,017598 | 96772 | 120769 | 1,2480 |
| pr144 | 0,023046 | 58537 | 61652 | 1,0532 |

| | | | | |
|-------------|----------|--------|--------|--------|
| ch150 | 0,030571 | 6528 | 8191 | 1,2547 |
| kroA150 | 0,022317 | 26524 | 33633 | 1,2680 |
| kroB150 | 0,022219 | 26130 | 34499 | 1,3203 |
| pr152 | 0,022441 | 73682 | 85699 | 1,1631 |
| u159 | 0,024533 | 42080 | 54675 | 1,2993 |
| rat195 | 0,033711 | 2323 | 2752 | 1,1847 |
| d198 | 0,035691 | 15780 | 18240 | 1,1559 |
| kroA200 | 0,040491 | 29368 | 35859 | 1,2210 |
| kroB200 | 0,041675 | 29437 | 36980 | 1,2562 |
| gil262 | 0,072513 | 2378 | 3208 | 1,3490 |
| pr264 | 0,067063 | 49135 | 58023 | 1,1809 |
| a280 | 0,080299 | 2579 | 3157 | 1,2241 |
| pr299 | 0,090118 | 48191 | 59890 | 1,2428 |
| lin318 | 0,107127 | 42029 | 54019 | 1,2853 |
| rd400 | 0,170658 | 15281 | 19183 | 1,2553 |
| fl417 | 0,180266 | 11861 | 15013 | 1,2657 |
| pr439 | 0,188402 | 107217 | 131281 | 1,2244 |
| pcb442 | 0,193573 | 50778 | 61979 | 1,2206 |
| d493 | 0,249512 | 35002 | 41660 | 1,1902 |
| att532 | 0,283901 | 27686 | 35516 | 1,2828 |
| ali535 | 0,298467 | 202310 | 265952 | 1,3146 |
| u574 | 0,320706 | 36905 | 50459 | 1,3673 |
| rat575 | 0,311885 | 6773 | 8605 | 1,2705 |
| p654 | 0,409402 | 34643 | 43457 | 1,2544 |
| u724 | 0,600550 | 41910 | 52943 | 1,2633 |
| rat783 | 0,636725 | 8806 | 11054 | 1,2553 |
| pr1002 | 1,054897 | 259045 | 331103 | 1,2782 |
| u1060 | 1,096500 | 224094 | 308980 | 1,3788 |
| vm1084 | 1,317227 | 239297 | 301476 | 1,2598 |
| pcb1173 | 1,405930 | 56892 | 71978 | 1,2652 |
| d1291 | 1,800917 | 50801 | 60214 | 1,1853 |
| rl1304 | 1,881862 | 252948 | 335779 | 1,3275 |
| rl1323 | 1,928193 | 270199 | 332103 | 1,2291 |
| nrw1379 | 2,014883 | 56638 | 68964 | 1,2176 |
| fl1400 | 2,350065 | 20127 | 27447 | 1,3637 |
| u1432 | 2,303238 | 152970 | 188807 | 1,2343 |
| fl1577 (LB) | 2,496180 | 22204 | 27996 | 1,2609 |
| d1655 | 2,998490 | 62128 | 74032 | 1,1916 |
| vm1748 | 3,614899 | 336556 | 408101 | 1,2126 |
| u1817 | 3,708572 | 57201 | 72030 | 1,2592 |
| rl1889 | 4,225599 | 316536 | 389270 | 1,2298 |

| | | | | |
|-------------|------------|--------|--------|--------|
| d2103 (LB) | 4,579056 | 79952 | 86652 | 1,0838 |
| u2152 | 6,007409 | 64253 | 79260 | 1,2336 |
| u2319 | 5,649987 | 234256 | 278765 | 1,1900 |
| pr2392 | 6,055991 | 378032 | 461170 | 1,2199 |
| pcb3038 | 11,491976 | 137694 | 176310 | 1,2804 |
| fl3795 (LB) | 17,863013 | 28723 | 35285 | 1,2285 |
| fnl4461 | 24,754531 | 182566 | 229963 | 1,2596 |
| rl5915 (LB) | 210,500905 | 565040 | 695602 | 1,2311 |
| rl5934 (LB) | 117,324818 | 554070 | 672412 | 1,2136 |

A Tabela 3 mostra o tempo e o peso das soluções dadas pelas implementações do algoritmo *Cheapest insertion* mostrado na Seção 4.6. Veja que o algoritmo tem uma média de aproximação de 1,1611.

Tabela 3: Tempo e peso das soluções do algoritmo *Cheapest insertion*.

| Grafo | Tempo (s) | Peso da solução ótima | Peso da solução | Comparação do peso (Solução/Ótima) |
|----------|-----------|-----------------------|-----------------|------------------------------------|
| g5 | 0,000498 | 19 | 19 | 1,0000 |
| g6 | 0,000766 | 12 | 12 | 1,0000 |
| g7 | 0,001120 | 2443 | 2443 | 1,0000 |
| g8 | 0,001416 | 2447 | 2447 | 1,0000 |
| g9 | 0,001748 | 2692 | 2695 | 1,0011 |
| g10 | 0,002200 | 4389 | 4389 | 1,0000 |
| g11 | 0,002608 | 3182 | 3182 | 1,0000 |
| g14 | 0,011768 | 3454 | 3673 | 1,0634 |
| att48 | 0,049098 | 10628 | 11488 | 1,0809 |
| eil51 | 0,052715 | 426 | 467 | 1,0962 |
| berlin52 | 0,054556 | 7542 | 8980 | 1,1907 |
| st70 | 0,104668 | 675 | 776 | 1,1496 |
| pr76 | 0,133348 | 108159 | 125272 | 1,1582 |
| eil76 | 0,122088 | 538 | 599 | 1,1134 |
| rat99 | 0,234594 | 1211 | 1384 | 1,1429 |
| rd100 | 0,233309 | 7910 | 9117 | 1,1526 |
| kroA100 | 0,233336 | 21.282 | 25303 | 1,1889 |
| kroB100 | 0,242905 | 22141 | 25198 | 1,1381 |
| kroC100 | 0,236728 | 20749 | 25408 | 1,2245 |
| kroD100 | 0,230461 | 21294 | 25414 | 1,1935 |
| kroE100 | 0,236550 | 22068 | 25359 | 1,1491 |
| eil101 | 0,248543 | 629 | 721 | 1,1463 |

| | | | | |
|---------|------------|--------|--------|--------|
| lin105 | 0,262338 | 14379 | 16905 | 1,1757 |
| pr107 | 0,300957 | 44303 | 52544 | 1,1860 |
| pr124 | 0,381023 | 59030 | 65934 | 1,1170 |
| bier127 | 0,404369 | 118282 | 140716 | 1,1897 |
| ch130 | 0,418207 | 6110 | 7092 | 1,1607 |
| pr136 | 0,463708 | 96772 | 110321 | 1,1400 |
| pr144 | 0,545182 | 58537 | 73032 | 1,2476 |
| ch150 | 0,672988 | 6528 | 7769 | 1,1901 |
| kroA150 | 0,612922 | 26524 | 30179 | 1,1378 |
| kroB150 | 0,607164 | 26130 | 31323 | 1,1987 |
| pr152 | 0,603960 | 73682 | 88879 | 1,2063 |
| u159 | 0,702978 | 42080 | 50541 | 1,2011 |
| rat195 | 1,236967 | 2323 | 2726 | 1,1735 |
| d198 | 1,183413 | 15780 | 17681 | 1,1205 |
| kroA200 | 1,373534 | 29368 | 35121 | 1,1959 |
| kroB200 | 1,243369 | 29437 | 35883 | 1,2190 |
| gil262 | 2,669317 | 2378 | 2752 | 1,1573 |
| pr264 | 2,582861 | 49135 | 57864 | 1,1777 |
| a280 | 3,061615 | 2579 | 3152 | 1,2222 |
| pr299 | 3,843596 | 48191 | 58002 | 1,2036 |
| lin318 | 4,643873 | 42029 | 49470 | 1,1770 |
| rd400 | 10,125448 | 15281 | 18439 | 1,2067 |
| fl417 | 10,917965 | 11861 | 14336 | 1,2087 |
| pr439 | 12,268624 | 107217 | 131149 | 1,2232 |
| pcb442 | 12,842792 | 50778 | 61081 | 1,2029 |
| d493 | 19,874876 | 35002 | 39868 | 1,1390 |
| att532 | 23,409908 | 27686 | 32364 | 1,1690 |
| ali535 | 26,792040 | 202310 | 238099 | 1,1769 |
| u574 | 29,957332 | 36905 | 43647 | 1,1827 |
| rat575 | 28,791080 | 6773 | 7987 | 1,1792 |
| p654 | 42,976049 | 34643 | 40461 | 1,1679 |
| u724 | 61,556341 | 41910 | 50865 | 1,2137 |
| rat783 | 80,878755 | 8806 | 10401 | 1,1811 |
| pr1002 | 152,635727 | 259045 | 302003 | 1,1658 |
| u1060 | 177,128006 | 224094 | 271326 | 1,2108 |
| vm1084 | 235,126046 | 239297 | 278219 | 1,1627 |
| pcb1173 | 255,843638 | 56892 | 70476 | 1,2388 |
| d1291 | 354,487179 | 50801 | 59470 | 1,1706 |
| rl1304 | 373,884945 | 252948 | 316641 | 1,2518 |
| rl1323 | 427,093890 | 270199 | 339152 | 1,2552 |
| nrw1379 | 469,123617 | 56638 | 66068 | 1,1665 |

| | | | | |
|-------------|--------------|--------|--------|--------|
| fl1400 | 447,106280 | 20127 | 23707 | 1,1779 |
| u1432 | 463,180445 | 152970 | 175625 | 1,1481 |
| fl1577 (LB) | 600,414791 | 22204 | 27335 | 1,2311 |
| d1655 | 814,036476 | 62128 | 73225 | 1,1786 |
| vm1748 | 904,934842 | 336556 | 402958 | 1,1973 |
| u1817 | 1.071,947773 | 57201 | 67379 | 1,1779 |
| rl1889 | 1.197,513541 | 316536 | 394969 | 1,2478 |
| d2103 (LB) | 1.676,483223 | 79952 | 88859 | 1,1114 |
| u2152 | 1.728,954008 | 64253 | 75483 | 1,1748 |
| u2319 | 1.958,518887 | 234256 | 271406 | 1,1586 |
| pr2392 | 2.203,856457 | 378032 | 458832 | 1,2137 |
| pcb3038 | 4.758,177250 | 137694 | 162299 | 1,1787 |
| fl3795 (LB) | 9.749,124437 | 28723 | 34085 | 1,1867 |

A Tabela 4 mostra o tempo e o peso das soluções dadas pelas implementações do algoritmo mostrado na Seção 4.7. Veja que o algoritmo tem uma média de aproximação de 1,1124, sendo essa a menor média entre os algoritmos de aproximação.

Tabela 4: Tempo e peso das soluções do algoritmo de Christofides.

| Grafo | Tempo (s) | Peso da solução ótima | Peso da solução | Comparação do peso (Solução/Ótima) |
|----------|-----------|-----------------------|-----------------|------------------------------------|
| g5 | 0,001002 | 19 | 21 | 1,1053 |
| g6 | 0,000895 | 12 | 12 | 1,0000 |
| g7 | 0,001204 | 2443 | 2443 | 1,0000 |
| g8 | 0,001323 | 2447 | 2567 | 1,0490 |
| g9 | 0,002488 | 2692 | 2812 | 1,0446 |
| g10 | 0,001893 | 4389 | 4663 | 1,0624 |
| g11 | 0,002585 | 3182 | 3343 | 1,0506 |
| g14 | 0,019969 | 3454 | 3524 | 1,0203 |
| att48 | 0,112064 | 10628 | 11899 | 1,1196 |
| eil51 | 0,051292 | 426 | 477 | 1,1197 |
| berlin52 | 0,059268 | 7542 | 8582 | 1,1379 |
| st70 | 0,121378 | 675 | 779 | 1,1541 |
| pr76 | 0,100573 | 108159 | 117862 | 1,0897 |
| eil76 | 0,172690 | 538 | 602 | 1,1190 |
| rat99 | 0,283734 | 1211 | 1363 | 1,1255 |
| rd100 | 0,565961 | 7910 | 8685 | 1,0980 |
| kroA100 | 0,330121 | 21.282 | 23468 | 1,1027 |
| kroB100 | 0,239143 | 22141 | 24463 | 1,1049 |

| | | | | |
|---------|------------|--------|--------|--------|
| kroC100 | 0,295118 | 20749 | 22973 | 1,1072 |
| kroD100 | 0,326494 | 21294 | 23673 | 1,1117 |
| kroE100 | 0,388768 | 22068 | 24739 | 1,1210 |
| eil101 | 0,377677 | 629 | 707 | 1,1240 |
| lin105 | 0,313034 | 14379 | 16608 | 1,1550 |
| pr107 | 0,210791 | 44303 | 47906 | 1,0813 |
| pr124 | 0,196318 | 59030 | 63614 | 1,0777 |
| bier127 | 0,825811 | 118282 | 131078 | 1,1082 |
| ch130 | 0,460384 | 6110 | 6752 | 1,1051 |
| pr136 | 0,173249 | 96772 | 103502 | 1,0695 |
| pr144 | 0,184947 | 58537 | 68392 | 1,1684 |
| ch150 | 0,516273 | 6528 | 7252 | 1,1109 |
| kroA150 | 1,196586 | 26524 | 29546 | 1,1139 |
| kroB150 | 1,191251 | 26130 | 30130 | 1,1531 |
| pr152 | 0,179125 | 73682 | 79113 | 1,0737 |
| u159 | 0,845914 | 42080 | 47622 | 1,1317 |
| rat195 | 1,265483 | 2323 | 2712 | 1,1675 |
| d198 | 1,593524 | 15780 | 17335 | 1,0985 |
| kroA200 | 2,296489 | 29368 | 33545 | 1,1422 |
| kroB200 | 1,909289 | 29437 | 33191 | 1,1275 |
| gil262 | 3,133878 | 2378 | 2729 | 1,1476 |
| pr264 | 1,305065 | 49135 | 55396 | 1,1274 |
| a280 | 3,092406 | 2579 | 2923 | 1,1334 |
| pr299 | 4,395013 | 48191 | 53002 | 1,0998 |
| lin318 | 5,402051 | 42029 | 48136 | 1,1453 |
| rd400 | 13,864237 | 15281 | 17456 | 1,1423 |
| fl417 | 5,598953 | 11861 | 13050 | 1,1002 |
| pr439 | 7,275703 | 107217 | 119864 | 1,1180 |
| pcb442 | 12,963700 | 50778 | 55372 | 1,0905 |
| d493 | 21,706841 | 35002 | 39064 | 1,1161 |
| att532 | 28,206267 | 27686 | 30923 | 1,1169 |
| ali535 | 33,753166 | 202310 | 230575 | 1,1397 |
| u574 | 28,364833 | 36905 | 41590 | 1,1269 |
| rat575 | 28,529482 | 6773 | 7737 | 1,1423 |
| p654 | 6,342735 | 34643 | 39341 | 1,1356 |
| u724 | 51,749076 | 41910 | 47578 | 1,1352 |
| rat783 | 68,371303 | 8806 | 10086 | 1,1454 |
| pr1002 | 151,496340 | 259045 | 288752 | 1,1147 |
| u1060 | 154,223089 | 224094 | 250078 | 1,1160 |
| vm1084 | 101,192326 | 239297 | 266756 | 1,1147 |
| pcb1173 | 144,295233 | 56892 | 63848 | 1,1223 |

| | | | | |
|-------------|--------------|--------|--------|--------|
| d1291 | 51,042224 | 50801 | 57377 | 1,1294 |
| rl1304 | 57,534469 | 252948 | 277816 | 1,0983 |
| rl1323 | 56,995372 | 270199 | 299786 | 1,1095 |
| nrw1379 | 410,352023 | 56638 | 64552 | 1,1397 |
| fl1400 | 436,376246 | 20127 | 22972 | 1,1414 |
| u1432 | 209,942230 | 152970 | 171597 | 1,1218 |
| fl1577 (LB) | 140,670952 | 22204 | 24574 | 1,1067 |
| d1655 | 264,331405 | 62128 | 70666 | 1,1374 |
| vm1748 | 422,465904 | 336556 | 379059 | 1,1263 |
| u1817 | 258,391154 | 57201 | 66097 | 1,1555 |
| rl1889 | 168,155168 | 316536 | 344694 | 1,0890 |
| d2103 (LB) | 46,422128 | 79952 | 84159 | 1,0526 |
| u2152 | 457,470814 | 64253 | 72557 | 1,1292 |
| u2319 | 1.816,239017 | 234256 | 273007 | 1,1654 |
| pr2392 | 1.631,525669 | 378032 | 422642 | 1,1180 |
| pcb3038 | 2.572,387007 | 137694 | 155195 | 1,1271 |
| fl3795 (LB) | 3.854,503772 | 28723 | 32056 | 1,1160 |

Como o algoritmo 2-OPT, apresentado na Seção 4.8, executa a partir de uma solução prévia, utilizamos as soluções dos algoritmos não ótimos como base para testarmos a sua implementação. Os resultados do tempo e do peso da sua execução sobre cada algoritmo estão na Tabela 5. Não apresentamos os fatores aqui, mas é possível calcular que o algoritmo tem uma média de aproximação de 1,0711 quando parte da solução do algoritmo *Cheapest insertion*, 1,0351 quando parte da solução do algoritmo de Christofides, e 1,0444 quando parte do algoritmo guloso.

Tabela 5: Tempo e peso das novas soluções do algoritmo 2-Opt.

| Grafo | Tempo Cheapest insertion (s) | Tempo Christofides (s) | Tempo Guloso (s) | Peso Cheapest insertion (s) | Peso Christofides (s) | Peso Guloso (s) |
|-------|---------------------------------------|------------------------------|---------------------|--------------------------------------|-----------------------------|-----------------------|
| g5 | 0,000879 | 0,001246 | 0,001379 | 19 | 19 | 19 |
| g6 | 0,001698 | 0,001543 | 0,001901 | 12 | 12 | 12 |
| g7 | 0,002525 | 0,002509 | 0,005539 | 2443 | 2443 | 2443 |
| g8 | 0,003665 | 0,007286 | 0,010310 | 2447 | 2447 | 2447 |
| g9 | 0,006169 | 0,010134 | 0,014547 | 2692 | 2692 | 2692 |
| g10 | 0,007366 | 0,013241 | 0,009826 | 4389 | 4389 | 4414 |
| g11 | 0,009669 | 0,018526 | 0,021365 | 3182 | 3212 | 3212 |
| g14 | 0,070163 | 0,028858 | 0,143569 | 3489 | 3514 | 3629 |
| att48 | 3,472982 | 5,767234 | 9,893354 | 11058 | 11228 | 10791 |

| | | | | | | |
|----------|--------------|--------------|--------------|--------|--------|--------|
| eil51 | 1,922467 | 6,556842 | 7,099367 | 455 | 444 | 450 |
| berlin52 | 2,731795 | 6,613014 | 8,359332 | 8825 | 8120 | 8056 |
| st70 | 20,136714 | 29,308328 | 24,710145 | 729 | 691 | 722 |
| pr76 | 28,868219 | 20,620786 | 42,597133 | 114698 | 114975 | 115219 |
| eil76 | 8,108390 | 17,143944 | 23,691985 | 588 | 568 | 561 |
| rat99 | 9,995486 | 79,456855 | 94,552347 | 1376 | 1265 | 1269 |
| rd100 | 34,177484 | 64,666926 | 180,903344 | 8629 | 8346 | 8642 |
| kroA100 | 77,336264 | 79,405908 | 215,539964 | 22963 | 22735 | 22139 |
| kroB100 | 80,876725 | 67,146558 | 87,184439 | 23361 | 23147 | 22475 |
| kroC100 | 100,202708 | 105,316499 | 122,793918 | 23486 | 21411 | 21952 |
| kroD100 | 112,542969 | 64,753902 | 143,022224 | 24159 | 21852 | 22407 |
| kroE100 | 78,596942 | 60,839797 | 100,661892 | 23607 | 23256 | 24253 |
| eil101 | 77,874993 | 76,349059 | 95,772071 | 663 | 671 | 648 |
| lin105 | 103,489291 | 87,661403 | 408,555164 | 15139 | 15532 | 14883 |
| pr107 | 142,451658 | 165,555913 | 77,510412 | 48671 | 45666 | 44613 |
| pr124 | 116,397779 | 150,918569 | 170,541544 | 61936 | 59578 | 60469 |
| bier127 | 108,528478 | 208,195619 | 205,037165 | 135293 | 124718 | 122103 |
| ch130 | 209,913044 | 368,318343 | 249,326884 | 6794 | 6273 | 6626 |
| pr136 | 378,933293 | 280,045760 | 278,669491 | 102250 | 99829 | 106479 |
| pr144 | 465,504079 | 368,600874 | 116,619626 | 59889 | 59021 | 61244 |
| ch150 | 417,516751 | 574,130513 | 426,675449 | 7169 | 6694 | 6807 |
| kroA150 | 309,771196 | 497,147672 | 758,410360 | 29211 | 27652 | 28251 |
| kroB150 | 398,092707 | 761,900399 | 569,918046 | 29296 | 27548 | 27570 |
| pr152 | 382,294396 | 213,793682 | 337,995328 | 84397 | 75734 | 75242 |
| u159 | 355,916251 | 531,926701 | 687,160490 | 47686 | 43995 | 47933 |
| rat195 | 1.130,059736 | 1.043,060889 | 1.124,653125 | 2508 | 2459 | 2530 |
| d198 | 1.452,096721 | 1.366,872603 | 1.150,448865 | 16916 | 16295 | 16386 |

7 Conclusão

Durante a realização desse projeto foram estudados ao todo oito algoritmos para o problema do caixeiro viajante.

Os de força bruta, programação dinâmica, *branch and bound* e programação linear são algoritmos que retornam uma solução ótima para o problema, e conseguimos implementar todos esses, exceto, por falta de tempo hábil, o de programação dinâmica. Percebemos que de fato são algoritmos que não são nem um pouco viáveis para grafos com um grande número de vértices, sendo a implementação da programação linear, com o Gurobi, o único que ainda consegue resolver grafos com 15 ou mais vértices, mas ainda sim demorando muito tempo.

Já para os algoritmos guloso, *cheapest insertion* e Christofides, que são algoritmos de aproximação e heurísticas, vimos que eles lidam bem com grafos de tamanhos maiores, e que o guloso é o que tem melhor desempenho em relação ao tempo, porém é o que em média retornou as piores soluções. Entre *Cheapest insertion* e Christofides, o tempo de execução é bastante parecido até quando os grafos têm menos de 1000 vértices, porém depois disso o tempo de execução do algoritmo de Christofides consegue ser melhor, além de apresentar uma melhor média de aproximação do que o algoritmo de *Cheapest insertion*. Por fim, o algoritmo 2-Opt, dos algoritmos que não retornam uma solução ótima, é o que tem o pior desempenho em relação a tempo, o que já era esperado já que ele verifica todos os pares de arestas em todas as iterações e só termina quando chega na melhor solução possível de alcançar com as trocas.

Concluimos que o problema do caixeiro viajante é um problema que tem muitas aplicações no mundo real, onde dificilmente haverá situações em que o grafo que representa o problema terá um número baixo de vértices, então é inviável aplicar algoritmos de solução ótima devido aos seus tempos de execução. Então algoritmos de aproximação e as heurísticas se tornam fundamentais para se trabalhar com o TSP.

Referências

- [1] Richard Bellman. Dynamic programming treatment of the travelling salesman problem. *Journal of the ACM (JACM)*, 9(1):61–63, 1962.
- [2] N. Christofides. Worst-Case Analysis of a New Heuristic for the Traveling Salesman Problem. Technical report, Carnegie Mellon University, 02 1976.
- [3] T. H. Cormen, C. E. Leiserson, R. L. Rivest, and C. Stein. *Algoritmos*. Campus Ltda., second edition, 2002.
- [4] Georges A Croes. A method for solving traveling-salesman problems. *Operations research*, 6(6):791–812, 1958.
- [5] J. Edmonds. Paths, trees, and flowers. *Canadian Journal of Mathematics*, 17:449–467, 1965.
- [6] M. C. Goldberg and H. P. L. Luna. *Otimização combinatória e programação linear: modelos e algoritmos*, pages 332–333. Elsevier Ltda, second edition, 2005.
- [7] T. A. J. Nicholson. *A sequential method for discrete optimization problems and its application to the assignment, travelling salesman, and three machine scheduling problems*. J. Inst. Math Appl., 1967.
- [8] Gurobi Optimization. Gurobi – The Fastest Solver. <https://www.gurobi.com/>. Acesso em 29 de setembro de 2020.
- [9] NetworkX package. NetworkX – Network Analysis in Python. <https://networkx.github.io/>. Acesso em 29 de setembro de 2020.

- [10] Ian Parberry. *Problems on Algorithms*, page 101. Prentice Hall, second edition, 2002.
- [11] Gerhard Reinelt. Tsplib. <http://comopt.ifi.uni-heidelberg.de/software/TSPLIB95/>. Acesso em 29 de setembro de 2020.
- [12] Raphael Augusto Nascimento Rodrigues and Millys Fabrielle Araújo Carvalhaes. Análise e complexidade de algoritmos: Backtracking e força bruta. *Revista Ada Lovelace*, 1:45–48, 2017.
- [13] D. J. Rosenkrantz, R. E. Stearns, and P. M. Lewis. An analysis of several heuristics for the traveling salesman problem. *Society for Industrial and Applied Mathematics*, 1977.
- [14] Alexander Schrijver. *Theory of linear and integer programming*. John Wiley & Sons, 1998.
- [15] V. V. Vazirani. *Approximation Algorithms*, pages 28–29. Springer Science and Business Media, 2001.